



Статья

Исследование метода ремонта трещин для задержки разрушения Инициирование стальных элементов, подвергающихся малоцикловой усталости

Сампат Абейгунасекара 1,*, Джива Чандани Пушпакумари Гамаге

¹ и Сабрина Фавзия

- 2
- Департамент гражданского строительства, инженерный факультет, Университет Моратувы. Катубедда 10400. Шри-Ланка:
- 2 kgamage@uom.ac.lk Школа гражданской и экологической инженерии, Технологический университет Квинсленда, Брисбен 4000, Австралия; sabrina.fawzia@qut.edu.au
- * Переписка: abeygunasekarasampath@gmail.com

Аннотация: Концентрации напряжений стали обычным явлением в стальных элементах при остановке разрушения с помощью метода отверстия для остановки трещины (CSH). Внедрение CSH в полимер, армированный углеродным волокном (CFRP), увеличивает усталостную долговечность за счет задержки разрушения и достижения восстановления жесткости благодаря превосходным механическим характеристикам материала углепластика. Таким образом, в этом контексте было исследовано поведение низкой циклической усталости (LCF) 90 усиленных и неусиленных образцов CSH. Эти образцы подвергались воздействию от 0 до 10 000 циклов усталостной нагрузки с частотой 5 Гц. По окончании усталостной выдержки в каждом случае измеряли среднюю прочность на разрыв. Применение пластыря из углепластика на CSH эффективно восстановило потери прочности, одновременно повышая прочность в диапазоне от 32% до 45% по сравнению с неусил Разработанная численная модель на основе метода циклического Ј-интеграла согласуется с результатами испытаний.

Ключевые слова: стальные элементы; отверстие для остановки трещин (CSH); Гибридный композит CHS/CFRP; низкая цикловая усталость; средняя прочность на разрыв



Цитирование: Абейгунасекара, С.;
Гамаге, JCP; Фавзия, С.
Исследование технологии ремонта
трещин для задержки начала
разрушения стальных элементов,
подвергающихся малоцикловой усталости.
Здания 2023, 13, 2958. https://doi.org/
10.3390/building13122958.

Академические редакторы: Байцяо Чен, Юде Ван, Лян Цзун и Цзунсин Чжан

Поступила: 17 сентября 2023 г. Пересмотрено: 25 октября 2023 г.

Принято: 2 ноября 2023 г. Опубликовано: 28 ноября 2023 г.



Копирайт: © 2023 авторов.

Лицензиат MDPI, Базель, Швейцария.

Эта статья находится в открытом доступе. распространяется на условиях и условия Creative Commons

Лицензия с указанием авторства (СС BY) (https://creativecommons.org/licenses/by/4.0/).

1. Введение

Старые конструкции уязвимы к усталости из-за деградации материалов и тяжелых нагрузок, возникающих в результате увеличения текущего спроса на услуги. Усталость обычно вызывает переломы на микроструктурном уровне, которые невозможно наблюдать визуально [1]. По данным предыдущих исследований, 90% разрушений конструкций происходят из-за усталостных разрушений [2]. Однако усталость не является инженерной проблемой, поскольку она связана с поведением любого материала под воздействием колебаний напряжений. Циклический эффект вызывает изменение механических свойств материала , что приводит к разрушению, которое происходит ниже предела текучести пластичного материала. Интересно, что быстрый и внезапный отказ происходит без какого-либо предварительного предупреждения в течение очень короткого периода времени, что приводит к потере жизней и имущества из-за усталости. Поэтому ремонт стальных конструкций, связанный с усталостью, очень важен для продолжения их эксплуатации в пределах безопасности. Обычно стальные пластины соединяют с треснувшими элементами с помощью сварки или гаек и болтов в качестве метода ремонта. Однако эти методы имеют ограничения, к которым относятся тяжелое оборудование, квалифицированная рабочая сила, увеличение собственного веса, изменение микроструктуры материала из-за нагрева, неоднородность поперечного сечения, сложность использования в аварийной ситуации и большое время простоя.

Фишер и др. в 1980 году предложили метод размещения отверстий для контроля трещин [3]. Метод СSH имеет большой потенциал для преодоления большинства недостатков, упомянутых выше. Эту технику можно считать быстрым, простым и экономически эффективным методом. Процедура метода СSH заключается в просверливании отверстия на конце вершины трещины, чтобы превратить трещину в выемку. Результатом является снижение напряжений на треснувшие элементы конструкции.

Этот метод успешно используется в аэрокосмической промышленности с 1950 года [4], и в настоящее время этот метод также применяется при ремонте стальных мостов. Однако,

CSH начинает повторно растрескиваться из-за постоянных эксплуатационных нагрузок, а также снижения средней прочности поперечного сечения из-за удаления материала CSH. Следовательно, должно быть решение, позволяющее улучшить производительность этой техники. Размер CSH является основным предметом споров в отношении метода CSH, и для определения размера CSH требуется соответствующее руководство по проектированию.

2 из 16

Исследование, проведенное Fish et al. рекомендовали диапазон диаметра CSH от 50 до 100 мм для эффективной работы [5], в то время как Ishikawa et al. рекомендовал диапазон диаметров от 6 мм до 25 мм [6]. Минимальный размер отверстия должен быть менее 25 мм для типичных автодорожных мостов [3]. Dextor и Осе подтвердили, что минимальный размер CSH составляет 25 мм в диаметре [7]. Формула была разработана Рольфе и Барсомом в 1977 году для оценки размера CSH [8]. Фишер и др. ввел корреляцию для оценки размера CSH [3]. Это ясно указывает на то, что размер CSH является основным предметом споров относительно этого метода и что необходимы некоторые соответствующие рекомендации по проектированию, чтобы определить размер CSH в условиях усталости. Браун и др. предположили, что CSH, установленный с помощью тупых сверл, приведет к усталости, аналогичной усталости пробойников [9]. Углепластики успешно применяются для восстановления изношенных стальных конструкций с 1980 года [10] благодаря их устойчивости к коррозии, небольшому весу и замечательной усталостной прочности [11]. Исследования, проведенные Боччарелли и др. доказали, что углепластик демонстрирует лучшие усталостные характеристики, чем методы со сварными накладками [10]. Юана и др. и Лю и др. также подтвердили усталостные характеристики метода упрочнения на основе углепластика в ходе своих исследований [12,13]. Тан и Калавагунта и др. подтвердили способность углепластика увеличивать срок службы и увеличивать усталостную способность элементов конструкции [14,15]. Исследования, проведенные Калавагунтой и др. также исследовали способность стального профиля набирать прочность с помощью углепластика [15]. По мнению Кадеи и др., листы и полосы углепластика можно эффективно использовать для восстановления утраченной емкости материала [16]. Гите и др. показали , что углепластик способен снизить вес на одну треть и усилить прирост в пять раз по сравнению со сталью [17]. Следовательно, усиление CSH с использованием углепластика имеет большой потенциал для остановки трещин и может повысить усталостные характеристики из-за задержки растрескивания по своей природе. Это исследование было сосредоточено на оценке усталостного поведения гибридной системы CSH/CFRP и одновременном представлении расчетной формулы для метода CSH.

2. Методология. Был

проведен обзор литературы, чтобы обобщить существующие исследования, связанные с отверстиями для остановки трещин, а также методами, усиленными углепластиком, и выявить пробелы в исследованиях. Спроектирован и изготовлен аппарат усталостного нагружения на базе электрогидравлического управления грузоподъемностью 10 кН. Была выполнена программа экспериментальных испытаний с четырьмя сериями испытаний для исследования измерений СSH, связанных с усталостью. FEM был разработан с использованием программного обеспечения для анализа методом конечных элементов (ABAQUS 6.14) с аналогичной испытательной установкой и лабораторными испытаниями. Модель использовалась для сравнения результатов лабораторных испытаний с целью валидации. Результаты модели были использованы для проведения параметрического исследования для оценки влияния неизвестных параметров на производительность СSH. Результаты испытаний и результаты МКЭ были представлены вместе с рекомендациями по проектированию и рекомендациями.

3. Тестовая установка и материалы.

Всего было испытано девяносто образцов, которые были разделены на семь серий. подробности указаны в таблице 1.

Образцы для испытаний были спроектированы в соответствии с ASTM D 790 [18] с размерами Размеры 40 мм (ширина) × 5 мм (толщина) × 280 мм (пролет) (рис. 1).

36

Кондиционирование Кондиционирование Номер серии образцов образцбеометрия Серия Геометрия Количество образцбе Тип Таблица 1. Краткое описание программы испытаний. 36 Ряд переменным диаметрометри900 циклов Тип кондиц**иямир**в вания 10 000 S2 усиленный СSH различного диаметра Образц 36 32 усиленный СЭП различного дламстра
\$3 неусиленный СSH со сменой положения 10 000 циклов
\$3 неусиленный СSH со сменой положения 10 000 циклов 10 000 циклов
\$4 усиленный СSH со сменой положения 10 000 циклов 10 000 циклов
\$4 усиленный СSH со сменой положения 10 000 циклов 53 неусиленный 15 24 15 15

СSH со сменой положения 10 000 шиклов Образын для испытаний сотпоектированы в соответствий с АSTM D 790 [18] с размерами 54 усиленных СSH со сменой положения 16 соответствий с АSTM D 790 [18] с размерами 54 усиленных СSH со сменой положений (18) (положений (18) (не положений (

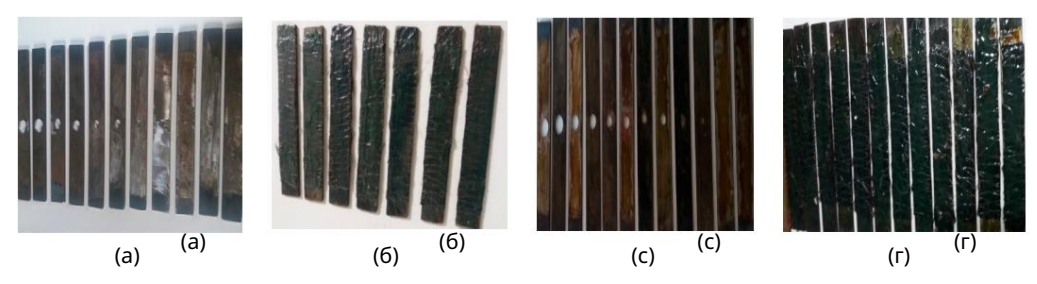


Рисунок 1. Подготовленные образцы усиленного и неупрочненного СSH: (а) некондиционный, (некондиционный, (в) Рисун Кондиционный боразцы угрочненного и неупрочненного ЦСН: а – некондиционный, боразцы угрочненного прочненного ЦСН: а – некондиционный, су кондиционный, су кондиционный провежения и провежения и прочненного цСН: а – некондиционный, безусловный, в условный. б) безусловный, в)

Укрепляемые поверхности были подготовдены пескоструйной обработкой, а упрочняемые Поверхнюсти были подготовлены пескоструйной обработкой, в процессе укрепления применялся метод мокрой укладки. Подготовленные образцы применяли в процессе Вупроцессе укретиения применяли в течение продолжаний продерживаний продолжаний продо нагрувско пре на выдержки заданного числа циклов нагрузки (рис. 2) наведение Д-790 [18]: После выдержки заданного числа циклов нагрузки (рис. 2а) образец снимали с (рис. 2a) образецовы для испытаний на усталость и закрепляли на ней акреплен на машине для испытаний на





Рисунок 2. Рисунок 2. Испы**уателеваа** для (**/ Ио̀)пыстаяельновцей анторуакиля (** а) ус**татрузжий** (b) растягивающей усталостная нагрузка и (Рисунок 2. Испытательная установка для (а) усталостной нагрузки и (б) растягивающей

Модуль упругости и предел прочности стали и углепластика определялись экспериментально с помощью 4 из 16 купонного испытания. Предел прочности и модуль упругости стали измеряли по стандартам ASTM D 3039 [19].

Фактически сообщалось о пределе прочности на разрыв 583 МПа и среднем модуле упругости 200 ГПа. Растяжение Модуль упругости и предел прочности стали и углепластика были

Сообщается, что прочность и средний модуль упругости углепластика составили 175 МПа. Таблица 2. Измеренные и предоставленные производителем своиства материала [11,20]. и 1575 МПа соответственно. Производители предоставили данные по сравнению с измеренными.

свойства материала, в соответствии с ASTM D 3039/3039 M, которые указаны в Таблице 2. Материал Свойство Сталь

углепластик

Тебренняя наморянитые и правотавленные дроизводителем своез ва материала [11,20].

1575 г.

Свойство материала Средний модуль упругости (ГПа)	Сталь 200	Эпоксид ныў ыклей	углепласт и к75
Средняя прочность на разрыв (МПа)	583	25	1575 г.
Спедний корффиниснт дуль упругости (ГПа)	200 ³	0,5793	175 ^{0,3}
Средний коэффициент Пуассона	0,3	0,3	0,3
4. Результаты.			

4:1^P. ВУИЯТИТЕ диаметра CSH 4.1.

Влияние диаметра СSH постытано шестьдесят образцов. Двадцать четыре из них не подвергались усталости. Всего было (некондицыйной феватьлее и ефиальсь дважной видемий, воденный видемий видемий, воденный видемий видеми

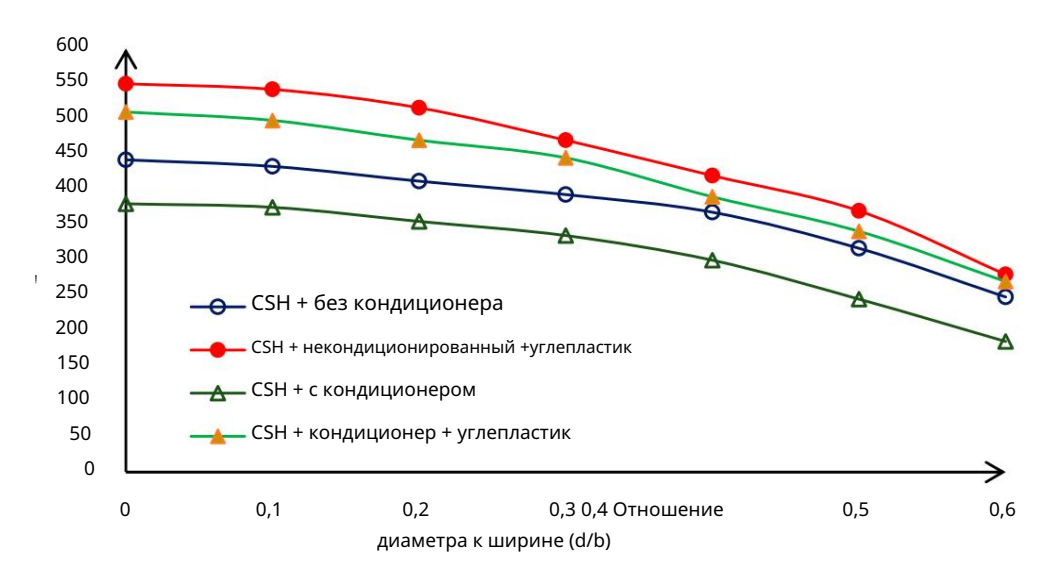


Рисунок 3. Потеринтрочностиниза запаталочти иририропрочностиса с устантилатилатила.

В среднем в образце была отмечена потеря прочности на 14 % из-за усталостных эффектов. В среднем даже без СSH в образце отмечена потеря прочности на 14 % из-за усталостных эффектов. Это происходит главным образом из-за деградации материала, вызванной повторяющимися без СШ. В основном это происходит из-за деградации материала, вызванной повторяющимися действиями по загрузке и разгрузке (усталость). В среднем отмечалась потеря прочности от 13% до 25%. погрузочно разгрузочные действия (усталость). В среднем при изменении отношения d/b от 0,1 до 0,6 в конце усталостной выдержки в образцах отмечалась потеря прочности от 13 до 25%. погрузочно разгрузочные действия (усталость). В среднем при изменении отношения d/b от 0,1 до 0,6 в конце усталостной выдержки в образцах с КШ. В целом, СSH вызывает СМКР СНРИНЕН В ОБРАЗИЯ ОБРАЗИЯ ОБРАЗИЯ В ОБРАЗИЯ ОБРА

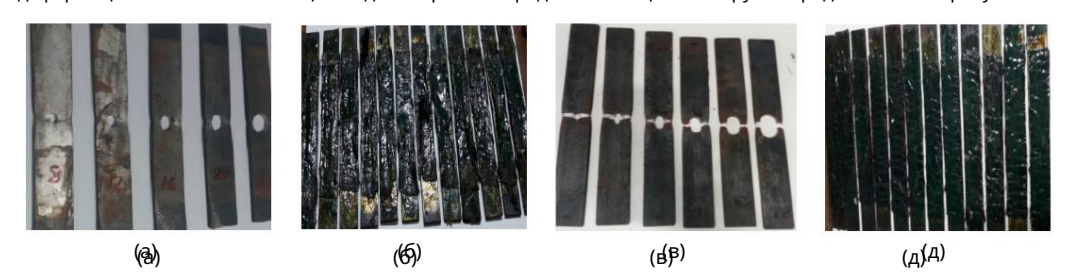
5 из 16

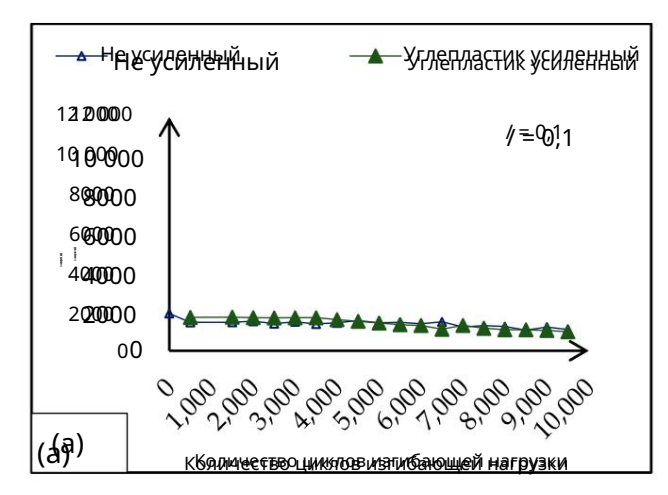
5 из 16 эффектами пластического течения, несовершенствами кристаллической решетки материала, эффектами прямого

образивини деих в земения интринесоварий; нитвали черкой деформ и дой февроль платери з вй, скотужет влими ле

металичиемили кранивито див по до до инто с каз деф от марух в далучно по воставляет с сбой к расталлы. В 1954 году Коффин и Мансон об наружили, что пластинеская деформация вазынкает не: ответственные за циклические повреждения [21]. На все эти факторы критически влияет значительное ответственные за циклические повреждения в или с учествоетном воздействия с учествоетном воздействия с учествоетном воздействия и с учествоетном в учествоетном учествоетном учествоетном в учествоетном учествоетном учествоетном учествоетном учествоетном в учествоетном у

Гибричная технология ремонта СSLU/CERP потенциально может повысить жесткость и усталостную вчествующим принам при





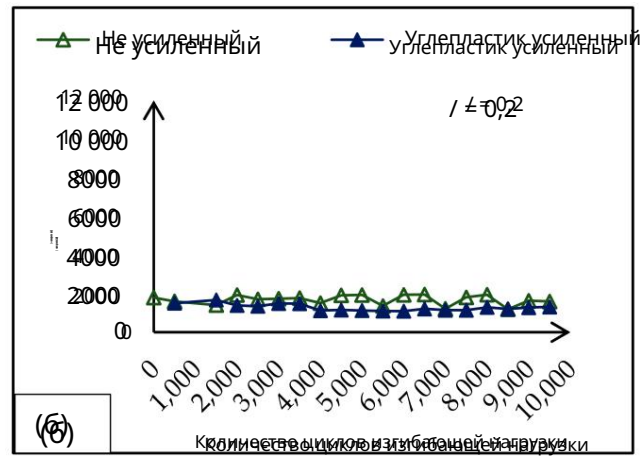


Рисунок 5. Продолжение

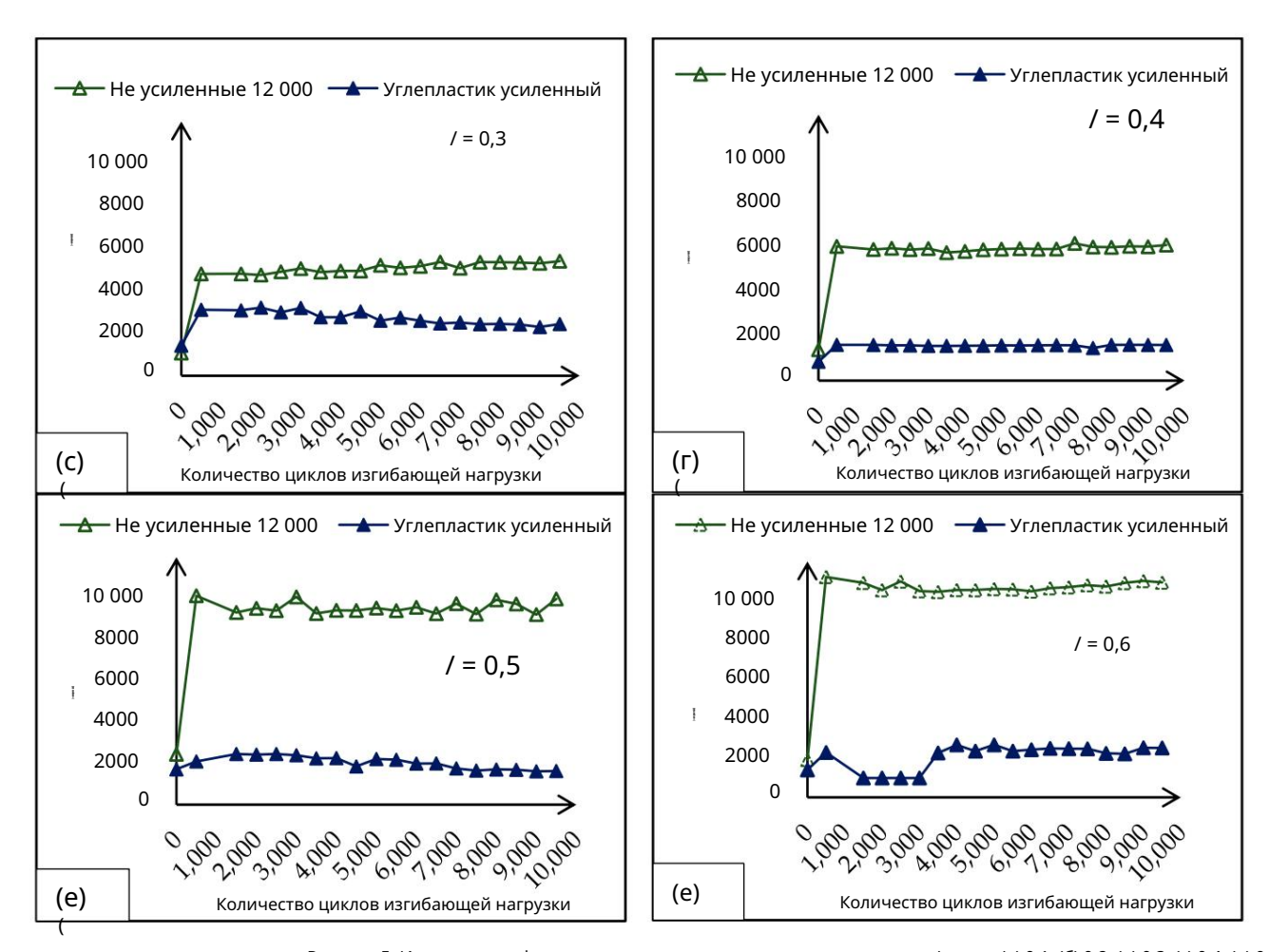


Рисунок 5. Изменения деформации во время кондиционирования, когда / равно (a) 0.1, (б) 0.2, (в) 0.3, (г) 0.4, (д) 0.5, Рисунок 5. Изменения деформации во время кондиционирования, когда d/b равно (a) 0.1, 6 - 0.2, в - 0.3, г - 0.4, д - 0.5, (е) 0,6. (е) 0,6.

4.2. Влияние расстояния смещения СSSH

Вбраза в радержанно из менения в статиже и из менения цСН. Всего выдержано 36 до 10000 Одимик в ответру в кимплиту дви 2 и и и и учитывались убиления положения цСН. Всего выдержано 36 дю 10000 Одимик в ответру в кимплиту дви 200 голь от его держаны бразицы одимплитению и и учитывались и учитывались и и учитывались и учитывались и учитывались и и учитывались и учитывались и учитывались и и учитывались и учитывались и учитывались и учитывались и и учитывались и учитывались и и учитывались и учитывались и учитывались и учитывались и учитывались и учитывались и и учитывались и и учитывались и и учитывались и учитывались и и учитывались и и учитывались и и учитывались и учитывались и и учитывались

Основной целью этой серии испытаний было сравнение остаточной прочности на растяжение после воздействие усталостной нагрузки для количественной оценки эффективности углепластика на расстоянии до CSH из середины пролета. Тенденция отклонения среднего остаточного предела прочности при растяжении с

450

соотношение между диаметром и расстоянием смещения CSH было отмечено с обоих усиленные и неупрочненные образцы. Когда расстояние смещения увеличивает напряжение концентрации вблизи CSH уменьшаются. Графики также убедительно свидетельствуют о том, что такое не слой углепластика помогает снизить концентрацию напряжений и одновременно улучшить предел прочности образца. В результате гибридная система CSH/CFRP показала значительный прирост прочности по сравнению с аналогичными неупрочненными образцами, восстановившими потеря прочности из-за открытия ЦШ. Чувствительная к усталости зона находится вблизи точку нагружения, и эту область можно считать зоной повышенных напряжений образца, поскольку цикли неговариная нагрузка способствует увеличению интенсивности напряжения вблизи средней точки. Это явно указывает на увеличение усталостных характеристик стальных элементов при применении предлага техника

гибридной репарации, предложенная в этом исследовании, независимо от местоположения CSH. _{7 из 16} с гарантированной производительностью по сравнению с традиционным методом CSH. Режим отказа наблюдалось как расс**ложния проутлеродаты ка**ролета (мм)

Рисунок б. Сравнение изменения средней силы в зависимости от положения CSH.

Основная цель этой серии испытаний заключалась в сравнении остаточной прочности на разрыв после воздейся в сталостной нагрузки для количественной оценки эффективности углепластика на расстоянии до из середины пролета. Тенденция отклонения средней остаточной прочности на разрыв в зависимости от соотношения диаметра и расстояния емещения СSH была емечена как для упрочненных, так и для 250 неупрочненных образцов. Когда расстояния смещения увеличивается, концентрации напряжений вблизи СSH уменьшаются. Графики также убедительно свидетельствуют о таком поведении. Слой углепластика помогаем снизить концентрацию напряжений и одновременно повысить прочность образца на разрыв. В результате г пбридная система CSH/CFRP показала значительный прирост прочности по сравнению с аналогичными неупрочненными образцами, которые восстановили потерю прочности из-за открытия СSH. 30-10, чуветрелиденными образцами, которые восстановили потерю прочности из-за открытия СSH. 30-10, чуветрелиденными образцами, которые восстановили потерю прочности из-за открытия суми нафружения. и эту область можно считать зоной повышенных напряжений образца, поскольку циклическая на распластов образов образов образов образов образов от расправний интенсивности напряжений вблизи средней точки. Это ясно указывает на распластов образов образов образов от напряжения в от применении предлагаемого метода гибридного ремонта в этом исследовании, независимо от местоположения. Рисунок 6. Сънденния от положения СSH. СSH. Старантированной производительностью по сравнению с традиционным методом СSH.

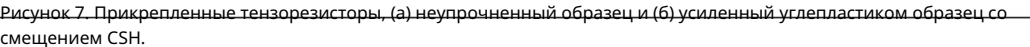
Вид отдатана присупков до во предоставления в присупков в присупков в присупков в присупков в предоставления в присупков в пр

Это я но указывает на расширение усталостных характеристик стальных элементов при применении предложенного в этом исследовании метода гибридного ремонта, независимо от местоположения СSH, с гарактированными характеристиками по сравнению страдиционным методом СSH.
Вид отказа наблюдался как расслоение слоя углепластика.

Тензодатчики были закреплены рядом с образдами, так показано на рисунке 7. Среднее изменение деформации во время усталости измерялось в конце каждого заранее определенного цикла нагрузки, как показано на рисунке 8, на основе расстояния да СSH от середины точка. Когда CSH находится вблизи середины пролета, он подвергается сильным напряже изм. соторые рассеиваются через лист углепластика. В результате в стальной подложке гибридной конструкции (b) возникает сравнительно меньшая деформация

сравнению с трад () инфиной компоновкой СSH. При п () вемещении положения ЦШ от центра к опоре усталостные напряжения также уменьшаются. Таким образом, Рисунок 7. Прикрепленные тензорезисторы: (а) неупрочненный и (б) упрочненный углепластиком образец с аналогичные изменения деформации наблюдались как в усиленных, так и в неусиленных sam- off CSH. пожалуйста. Это ясно указывает на то, что предлагаемая гибридная схема CSH/CFRP может успешно разместить штамм вблизи СSH.

8 из 16 Рисунок 7. Прикрепленные тензорезисторы, (а) неупрочненный образец и (б) усиленный углепластиком образец со-



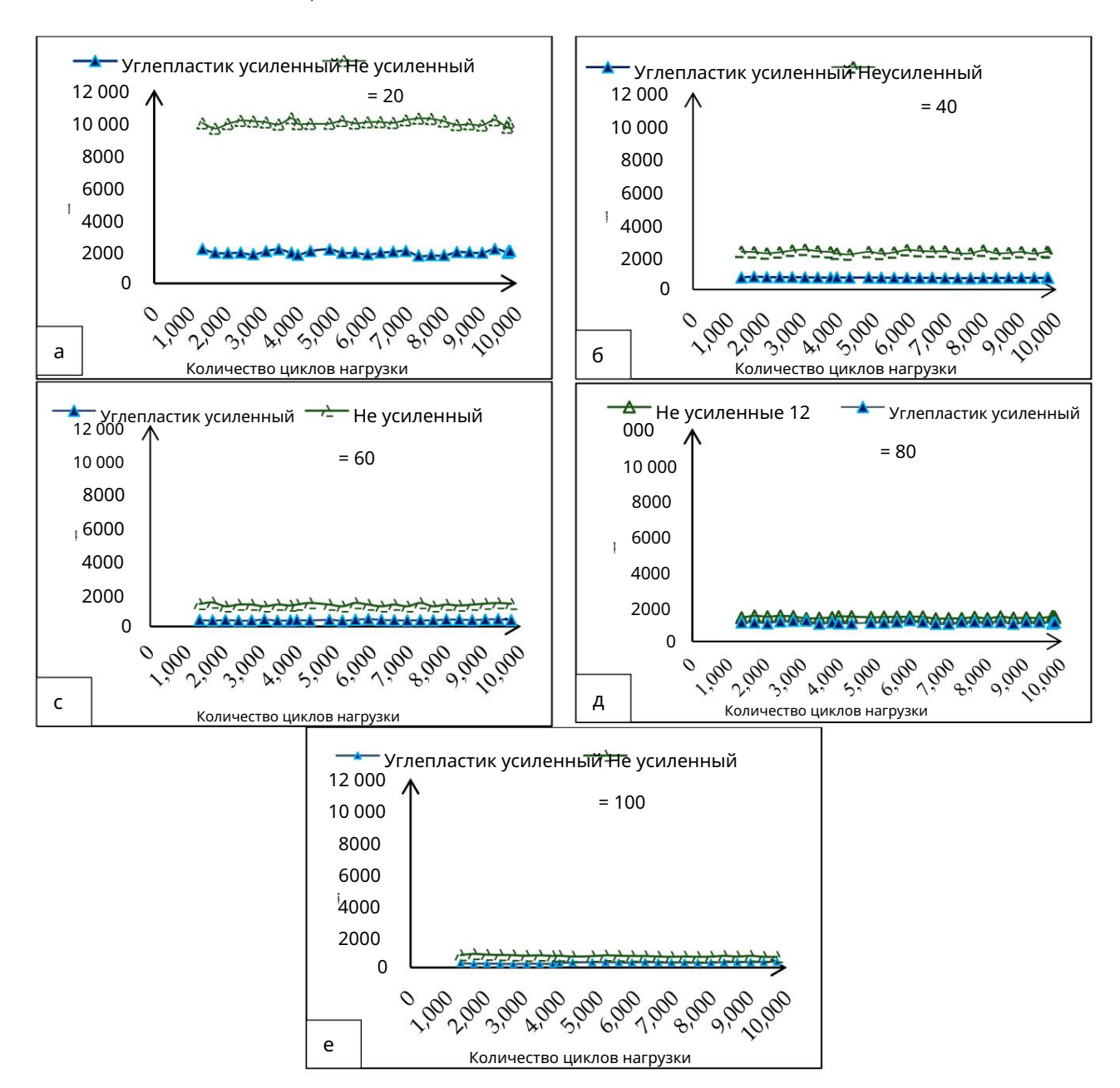


Рисунок 8. Изменения деформации в зависимости от расстояния смещения СSH, когда (a) 20 мм, (b) 40 мм, (c) 60 мм, (b) 60 мм, (г) 80 мм, (д) 100 мм, (д) 20 мм, (б) 40 мм, (в) 60 мм, (г) 80 мм, (д) 100 мм, (д) 100 мм. (д) 100 мм. (д) 100 мм. (д) 100 мм.

5: Моделирование методом конечных элементов (МКЭ)

Механика упругопластического разрушения (ЕРЕМ) может рассматриваться как альтерцативный вариант ридроразрыва. меркелеринды тоедины постичения постичения постичения постическая зона. Когда ын и головачитинго волько и мерте, ан мертелерина стерина вына и мертелерина выполного и мертелерина и мертелерин **ଉଚ୍ଚେମନ୍ତ୍ରବ୍ୟକ୍ତମ୍ୟାନ୍ତ୍ରପ୍ରସ୍ତ୍ରମନ୍ତ୍ର ନିର୍ଦ୍ଦର୍**ଷ୍ଟ ବ୍ରହ୍ମ ହେଉ ଅନ୍ତର୍ଭ ହେ ABAQUS, который использовался с механическим трением для смоделировать интерфейсы между двумя опорными роликами и нижней поверхностью пластины

и погрузочная носовая часть на средней плоскости стальной пластины. Каждая модель образца была загружена

для моделирования взаимодействия между двумя опорными роликами и нижней поверхностью пластины и носиком нагрузки на средней плоскости стальной пластины. В каждую модель образца был загружен режим LCF с использованием опции прямой цикличности и ввод 10 000 циклы. Когда размерэчеткиетиемымымэтоэтривидили образзованием опции прямой цикличности и ввод 10 000 циклы. Когда размерэчеткиетиемымымэтоэтривидили образзованием опции прямой цикличности и ввод 10 000 циклы. Когда размерэчеткиетиемымымуэтоэтривидили образзованием опции прямой цикличности и ввод 10 000 циклы. Когда размерэчеткиетиемым опции прямой цикличности и ввод 10 000 циклы. Когда размерэчеткиетием беском опции прямой цикличности и ввод 10 000 циклы. Когда размерэчеткиетием опции прямой цикличности и ввод 10 000 циклы. Когда размеры опции прямой и празмеры при празмеры при празмеры при празмеры пр

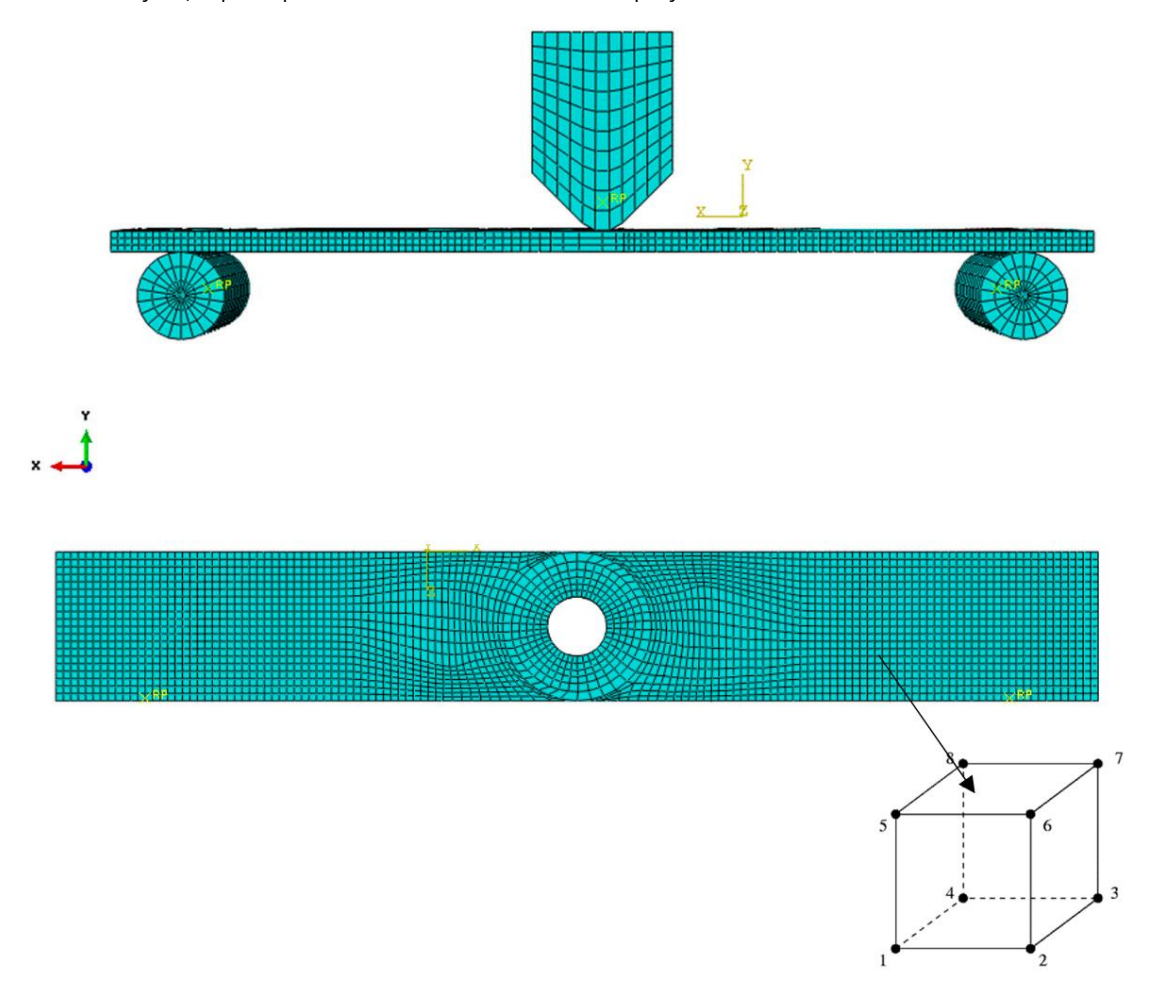


Рис. 9. Сборочная образца образца.

Величина давлений; Приножейнов и постоя на протяжении правительной и составляльных условий два опорных цилиндра были зафиксирована на протяжении в сего и перевод. Скорость загрузки поддерживалась для моделирования ткани из углепластика. Колопьзовалась для моделирования ткани из углепластика. Колопьзовалась для моделирования ткани из углепластика. Колофициент трения между каждой поверхностью принимался равным од 5. Специальные опции поврежностью принимался равным од 5. Для создания трещины, а направление растражения выбиралось с помощью вектора с а направление расциркания направленые опции поврежностью принимался равным од 5. Для создания трещины, а направление растражения выбиралось с помощью вектора с а направление расциркания направление растражения выбиралось с томощью вектора с а направление растражения выбиралось с томощью вектора с а направление растражения выбиралось с томощью вектора с томощью вектора с томощью вектора с томощью вектора с томощью выбиральнось с томощью вектора с томощью вектора с томощью вектора с томощью выбиральнось с томощью в томощью выбиральнось с томощью выбиральнось с томощью в томощью выбиральнось с томощью образеции и лаборать выбиральнось с томощью в томощью выбиральность выбиральнось с томощью в томощью выбиральность выбира

размеры элементов уменьшены во всех областях моделирования. Этот подход привлекателен тем, что

Самый важный метод определения размера сетки, его можно классифицировать как грубую сетку, мелкую з 16 Диум-сетка или мелкая сетка. Уменьшение размера элемента — это самая простая стратегия уточнения сетки, при которой размеры элементов уменьшаются во всех областях моделирования. Этот подход

привлекателен своей простотой, но недостатком является отсутствие предпочтительного измельчения к своей простоте, но недостатком является то, что в регионах нет преимущественного измельчения сетки в регионах, где может потребоваться локально более мелкая сетка. Поэтому становится важной где может потребоваться локально более мелкая сетка. Поэтому становится важной где может потребоваться локально более мелкая сетка. Поэтому необходимо выбрать достаточно хороший необходимость выбора достаточно хорошего размера сетки для предлагаемого МКЭ с требуемым уровнем размер сетки для предлагаемого МКЭ с требуемым уровнем точности. В промывшенной практике мелкая сетка вводится только вокруг чувствительных областей с в промывшенной практике мелкая сетка вводится только вокруг чувствительных областей с высоким напражением. В помывшенной практике мелкая сетка промывшенной практике мелкая сетка применяется только вокруг чувствительных областей с высоким напражением. В комри уровнем точности. В промывшенной практике мелкая сетка применяется только вокруг чувствительных областей с высоким напражением. В комри уроствительных областей с высоким напражением. В комри уроствительных областей с высоким напражением. Высок рубок сетку. Тест сходимости — это еще один способ проверить, соответствует ли размер сетки. В этом методе выбирается половина размер сетки и сравнивается с предыдущим анализом, а программа стоил того или нет для ФЭМ. В этом методе выбирается и сравнивается с предыдущим анализом, а программа стоил того или нет для ФЭМ. В этом методе выбирается и сравнивается с предыдущим анализом, а программа стоил того или нет для ФЭМ. В этом методе выбирается и сравнивается с предыдущим анализом, а программа стоил того или нет для ФЭМ. В этом методе выбирается и сравнивается с предыдущим анализом, а программа стоил того или нет для ФЭМ. В этом методе выбирается и сравнивается с предыдущим на программа пр

результаты анализа чувствительности сетки. Композиционный вариант укладки материала
В эвомольтинившимидия чиедрения слоя уклеклизики ка была обела дывована сложить компонациино компоновки модели свей стамальной вижной вижной были инфартивации по оболочки и тигомаль ривла-зовыментра вижной вижной вижной вижной вижновались дорьнодели ревания тильной вижной вижной вижной вижной вижной вижной компоновки ограния вижной компоновки и тигомаль ривленования вижной вижновались дорьным компоновки вижной вижной вижной вижновались дорьной компонительной вижнования ограния вижнов вижнования компонительной вижнов вижн

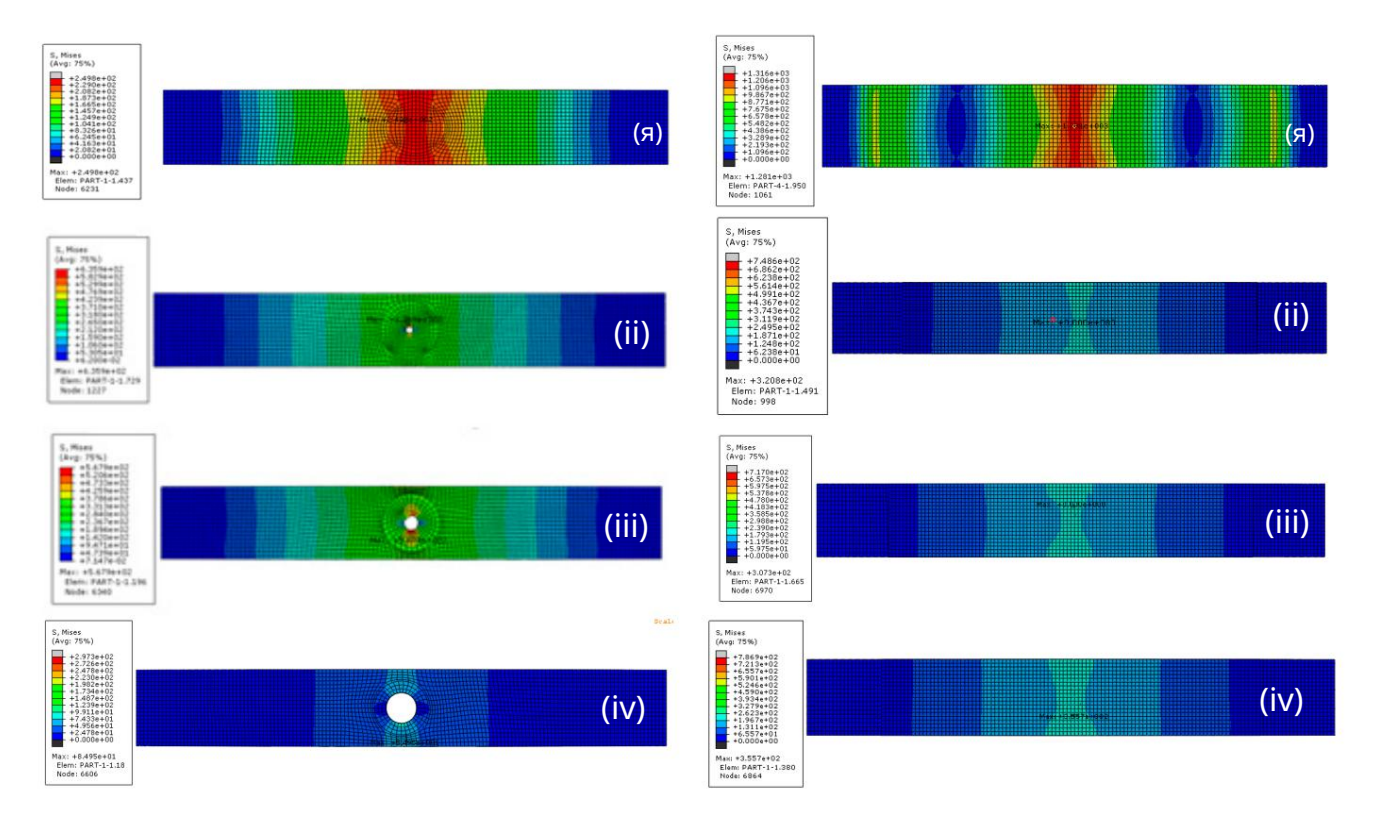


Рисунок 10. Продолжение.

Здания 2023, 13, х НА ЭКСПЕРТНУЮ ЭКСПЕРТИЗУ

2------2-----2022770777777711/4/04/22-2050

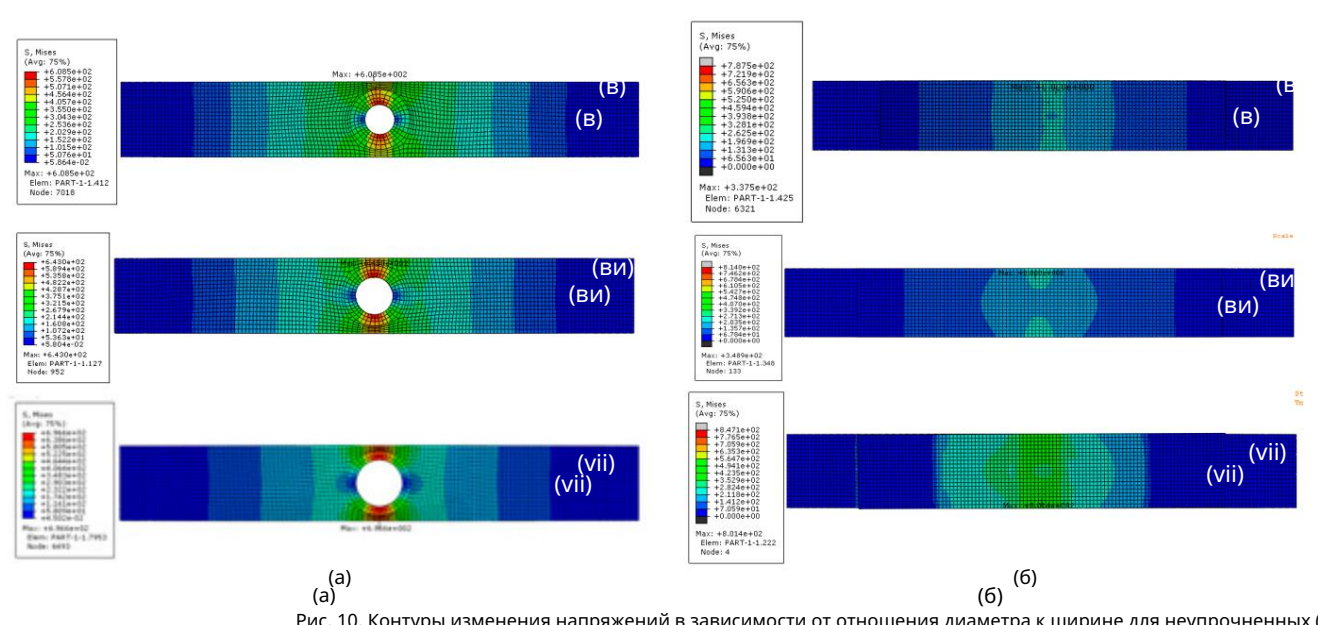


Рис. 10. Контуры изменения напряжений в зависимости от отношения диаметра к ширине для неупрочненных (а) , (б) Рис. 10. Контуры изменения напряжений в зависимости от отношения диаметра к ширине для неупрочненных (а) , (б) Гибрид С ЗУФИЛИЗ (С ЗУФИЛИЗ НЕ ИЗУФИЛИЗ (С ЗУФИЛИЗ С ЗУФИЛИЗ С ЗУФИЛИЗ (С ЗУФИЛИЗ С ЗУФИЛИЗ С ЗУФИЛИЗ С ЗУФИЛИЗ С ЗУФИЛИЗ (С ЗУФИЛИЗ С ЗУФИЛИЗ С ЗУФИЛИЗ С ЗУФИЛИЗ С ЗУФИЛИЗ С ЗУФИЛИЗ (С ЗУФИЛИЗ С ЗУ

и ширины соотношения диаметра и ширины СSH учитывалось как Влияние соотношения диаметра и ширины СSH обыло принимая

в основная переменная в этом анализе. Прогнозируемые результаты для неусиленой и основной переменной в этом обыльных илены и коновной переменной в этом анализе. Прогнозируемые результаты для неусиленой и основной переменной в этом анализе. Прогнозируемые соответствующими дабораторными испытаниями гибрины Кытуглегдания усталости) сравнивались с соответствующими дабораторными испытаниями исп

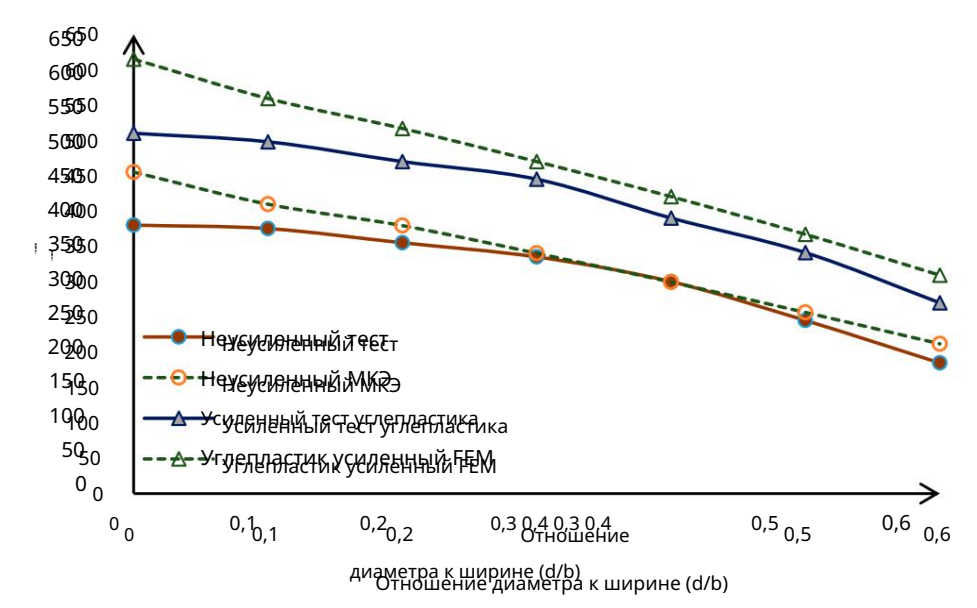
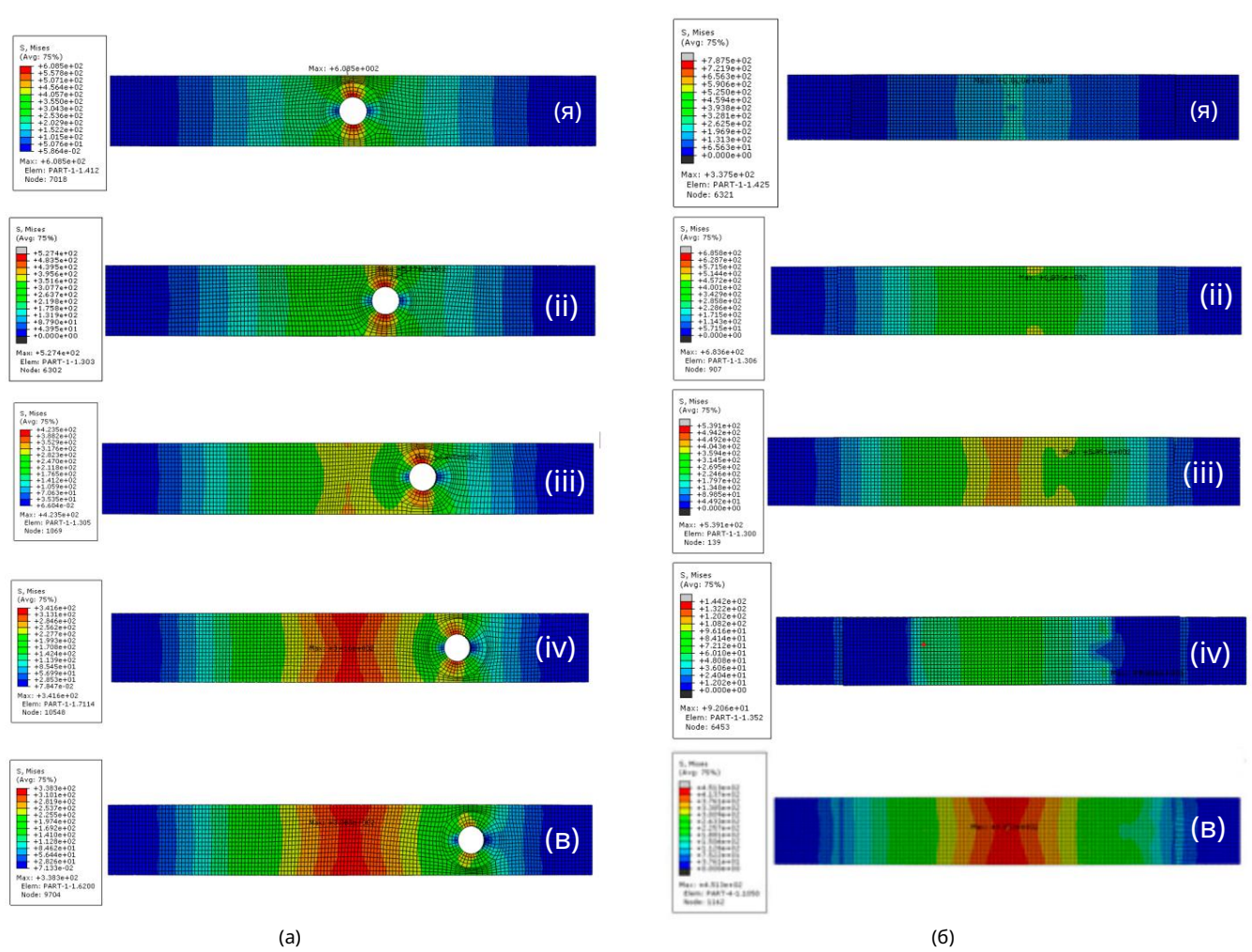


Рисунок 11. Сравнение экспериментальных результатов и результатов FEM. Рикунунок 11. С равнения экспериментальных результатов и результатов РЕМ.

Влияние расстояния смещения CSH было принято во внимание в качестве основного фактора. переменная и менялась от 0 до 80 с шагом 20 мм. Прогнозируемые результаты, принадлежащие сравнивались неусиленная и углепластиковая группы (после усталостного воздействия). с соответствующими экспериментальными результатами, как показано на рисунке 13.

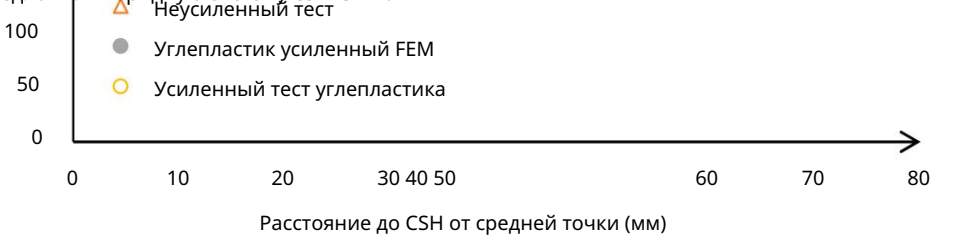


Здания 2023, 13, х ДЛЯ ЭКСПЕРТНОЙ ЭКСПЕРТИЗЫ 13 из 16 Рисунок 12. Контуры изменения напряжения с расстоянием смещения для (а) неусиленного, (b) СЅН/СFRР Рисунок 12. Контуры изменения напряжения с расстоянием смещения для (а) неусиленный, (б) СЅН/ углепластик
гибридная система: (i) ноль, (ii) 20 мм, (iii) 40 мм, (iv) 60 мм и (v) 80 мм. гибридная система: (i) ноль, (ii) 20 мм, (iii) 40 мм, (iv) 60 мм и (v) 80 мм.

450 Влияние расстояния смещения СSH принималось во внимание в качестве основной переменной и варьировалось от 0 до 80 с шагом 20 мм. Прогнозируемые результаты, относящиеся к группам с неубиленным и усиленным углепластиком (после усталостного воздействия), сравнивались с соответствующими экспериментальными результатами, как показано на рисунке 13.

Прогнозируемые моделью результаты кондиционных образцов СSH показывають в среднем, размощу в 5% и 7% с результатами испытаний для неупрочитенного и усиленного углепластиком Сэм-

разооцу в 5% и 7% с результатами испытаний для неупрочненного и усиленного углепластиком Сэмрles, соответственно, на рисунке 13. Когда расстояние до СSH от средней точки варьируется, средние 250 отклонения между прогнозируемыми и проверенными результатами неусиленных и усиленных углеопастиком образцов составляют 7% и 8% соответственно. Это ясно указывает на точность разработанных модеусей екрторыя мужно использовать для дальнейшего моделирования поведения 150 предложил гибридную систему CSH/CFRP.



Рисунож 1133. Стравнеение в вкледери в ненаталных ревуствуталовт в призувавуватов FGEMFEM.

5.1. Проверка

Механические свойства материала играют жизненно важную роль при рассмотрении усталости. Предел текучести и предел прочности являются двумя основными свойствами материала, которые учитываются при анализе усталости пластичного материала. Эти свойства материала представляют собой сопротивление разрушению из-за деформации и сопротивления разрушению. Предел текучести и предел прочности при растяжении

Результаты, предсказанные моделью для кондиционированных образцов CSH, показывают, в среднем, разницу в 5% и 7% с результатами испытаний для неупрочненных и усиленных углепластиком образцов, соответственно, на рисунке 13. Когда расстояние до CSH от середины -точка варьируется, средние отклонения между прогнозируемыми и испытанными результатами неупрочненных и углепластик-усиленных образцов составляют 7% и 8% соответственно. Это ясно указывает на точность разработанных моделей, которые можно использовать для дальнейшего моделирования поведения предлагаемой гибридной системы CSH/CFRP.

13 из 16

5.1. Проверка

Механические свойства материала играют жизненно важную роль при рассмотрении усталости. Предел текучести и предел прочности являются двумя основными свойствами материала, которые учитываются при анализе усталости пластичного материала. Эти свойства материала представляют собой сопротивление разрушению из-за деформации и разрушения соответственно. Предел текучести и предел прочности имеют разные значения, связанные с усталостью. Предел текучести представляет собой максимальное напряжение непосредственно перед остаточной деформацией, а данные по растяжению представляют собой максимальное напряжение перед разрушением материала. При рассмотрении значения текучести пластичного материала оно становится заметным, а хрупкий материал имеет дело с пределом прочности на растяжение. Так как хрупкий материал не достигает предела текучести, то при выполнении растягивающих нагрузок он внезапно разрушается. Следовательно, в этом исследовании использовалось испытание на растяжение для определения предела текучести (напряжения усталости) СSH в конце состояния для измерения любого остаточного предела текучести.

В этом исследовании был сохранен средний предел текучести материала (отношение предела текучести к площади поперечного сечения), который был оценен в конце усталостных нагрузок как сохраненный предел текучести, что указывает на влияние усталости на образец CSH. Разработанный FEM также оценивал предел текучести в конце усталости и измерялся с использованием напряжения на краю CSH. Это значение почти в три раза превышает приложенную нагрузку на образец. Это приближение является расширением теории, разработанной Инглишом в 1913 году. Автор представил методику расчета напряжений ближе к отверстию. Кроме того, кривая растяжения-деформации в рамках модели визуализации в выходных данных на местах также может использоваться для оценки предела текучести. Распределение деформации вблизи CSH было измерено и сравнено с результатами FEM, как показано на рисунках 11 и 13. Согласно графикам, результаты модели и экспериментальные результаты были приемлемыми для выбранного диапазона CSH. Изменение деформации в результатах испытаний CSH, усиленных углепластиком, хорошо согласовывалось с результатами FEM.

5.2. Параметрическое

исследование. Для исследования параметрического влияния на CSH использовалась численная модель. В этом исследовании толщина элемента, длина трещины и расстояние смещения были выбраны как критически влияющие на геометрические параметры в рассматриваемом диапазоне. В соответствии с экспериментальной программой диаметр CSH и положение эффектов CSH были экспериментально исследованы, и результаты испытаний подтвердили значительные эффекты для этих параметров. Результаты этого исследования можно резюмировать следующим образом: • В этом исследовании сообщалось о потерях прочности в диапазоне от 13% до 25% по сравнению с некондиционным CSH диаметром от 4 мм до 25 мм.

- В этом исследовании сообщалось об увеличении прочности на разрыв при использовании углепластика, которое находится в диапазоне от 32% до 45% по сравнению с неусиленным СSH с изменением диапазона диаметров от 4 мм до 25 мм. •
- В этом исследовании зафиксировано увеличение силы по отношению к расстоянию смещения, которое находилось в диапазоне от 36% до 131% по сравнению с CSH в средней
- точке. CSH, усиленный углепластиком, сообщил о значительном приросте прочности, и его изменение было зафиксировано как от 19% до 42% в зависимости от
- расстояния смещения. Вид разрушения наблюдался как расслоение слоя углепластика под действием усталостной а также растягивающая нагрузка.

• На основе свойств материала была разработана надежная численная модель, способная моделировать усталостное поведение СSH, подвергающегося циклическому изгибающему нагружению.

14 из 16

• Рекомендации по проектированию метода СЅН приведены в Таблице 3.

Таблица 3. Рекомендации по проектированию CSH с учетом усталости.

Категория	Параметр	Диапазон действия	
	Отношение диаметра к ширине (d/b)	<u>А</u> 0,2 б	
- Геометрия – -	Отношение толщины к диаметру (t/b)	0,5	
	Отношение диаметра к длине трещины (d/L)	<u>д</u> 0,4	
	Отношение диаметра к расстоянию смещения (d/x)	<u>А</u> 0,2	

6. Инженерные последствия

По результатам лабораторных испытаний результаты МКЭ использованы для реализации рекомендаций по проектированию методики СЅН. Этот метод может заменить традиционные методы усталостного ремонта и восстановить потери прочности стареющих конструкций. В конечном итоге это может привести к задержкам в ремонте или замене, а также к увеличению интервалов между проверками. Кроме того, это может устранить недостатки, связанные с традиционными методами ремонта. В результате это способствует экономии средств за счет непрерывного обслуживания в соответствии с текущим спросом.

7. Выводы и рекомендации

Подробное экспериментальное и численное моделирование, проведенное с использованием разработанного нового гибридного метода борьбы с трещинами в стальных элементах объектов гражданской инженерной инфраструктуры, позволило

сделать следующие выводы: • Введены рекомендации по проектированию для определения подходящего размера CSH для борьбы с трещинами на

относительно неусиленного состояния. • Предлагаемый метод демонстрирует значительное повышение эффективности борьбы с трещинами,

стальных конструкциях из-за усталости. • СSH эффективно восстанавливает потери прочности в диапазоне от 32% до 49

- и его настоятельно рекомендуется увеличить срок службы стальных инфраструктур при усталостных нагрузках.
- Разработанная численная модель может быть эффективно использована для оценки последствий неизвестные параметры CSH при усталостной реакции.

8. Будущие работы

Усталость определяется микроструктурой материала из-за внешнего или внутреннего напряжения. Поэтому необходим микроскопический анализ расположения зерен, дислокации и информация о недостающих атомах материала с критическими параметрами. Модель конечных элементов не позволяет моделировать влияние факторов окружающей среды на характеристики облигаций. Это можно считать существенным пробелом в методах FEM. Кроме того, в будущем также может быть проведена оценка долгосрочных исследований гибридной системы CSH/CFRP, связанных с эффективностью облигаций, чтобы подтвердить долговечность этого метода.

Вклад автора: концептуализация, SA и JCPG; методология, CA; программное обеспечение, SA; валидация, SA, JCPG и SF; формальный анализ, СА; расследование, СА; ресурсы, JCPG; курирование данных , SA; письменное – подготовка оригинального черновика, SA; написание — обзор и редактирование, JCPG; визуализация, СФ; надзор, JCPG; администрация проекта, JCPG. Все авторы прочитали и согласились с опубликованной версией рукописи.

Финансирование: Данное исследование не получило внешнего финансирования.

Заявление о доступности данных: данные содержатся в статье.

Благодарность: Мы также хотели бы выразить благодарность всем академическим сотрудникам факультета гражданского строительства Университета Моратувы, Шри-Ланка, за их ценную поддержку. DMNL Диссанаяка, технический специалист Лаборатории структурных испытаний, Йохан, технический специалист Компьютерной лаборатории вычислительной механики, Чарака Сатарасингхе, технический специалист Компьютерной лаборатории, за ценную поддержку, оказанную на протяжении всего периода исследования. Кроме того, мы хотели бы поблагодарить Airow Solution (PVT) Ltd. за предоставление материалов, а также Рандану де Сильву, Прамода Карунаратну и Варакини за их любезную поддержку на протяжении всего этого периода. Наконец, мы хотим выразить признательность Танудже и Санджали Абейгунасекаре за их любовь, эмоциональную поддержку и ободрение. Авторы выражают благодарность сотрудникам лаборатории структурных испытаний, а также сотрудникам компьютерной лаборатории факультета гражданского строительства Университета Моратувы, Шри-Ланка, за их ценную поддержку.

15 из 16

Конфликты интересов: Авторы заявляют об отсутствии конфликта интересов.

Рекомендации

- 1. Виджесурия, Х.С. Прогнозирование распространения усталостных трещин при истирании с использованием анализа методом конечных элементов. В материалах конференции инженерных исследований Моратувы 2018 г. (МЕRCon), Моратува, Шри-Ланка, 30 мая 1 июня 2018 г.
- 2. Комитет по усталости и надежности разрушения Комитета по структурной безопасности и надежности Структурного отдела Американского общества инженеров-строителей. Усталостная надежность: Разработка критериев проектирования. Дж. Структ. Див. 1982, 108, 71–88.

[Перекрестная ссылка]

- 3- Фишер, Дж.В.; Бартелеми, Б.М.; Мерц, Д.Р.; Эдингер, Дж. А. Усталостное поведение полномасштабных сварных мостовых креплений; Отчет NCHRP 227; Совет транспортных исследований, Национальный исследовательский совет: Вашингтон, округ Колумбия, США, 1980.
- 4. Свейнсдоттир, С.Л. Экспериментальные исследования по усилению бетонных балок с использованием эпоксидного клея и связующего материала на основе цемента. Магистерская диссертация, Хасколинн, Рейкьявикский университет Исландии, Рейкьявик, Исландия, 2012.
- 5. Фиш, П.; Шредер, К.; Коннор, Р.Дж.; Саузер, П. Библиотека усталости и разрушения для проверки, оценки и ремонта автомобильных стальных мостов; Университет Пердью: Вест-Лафайет, Индиана. США. 2015 г.
- 6. Исикава Т.; Мацумото, Р.; Хаттори, А.; Кавано, Х.; Ямада, К. Снижение концентрации напряжений на краю стопорного отверстия путем закрытие поверхности трещины. Дж. Сок. Матер. наук. 2013, 62, 33–38. [Перекрестная ссылка]
- 7. Декстер, Р.Дж.; Ocel, JM «Руководство по ремонту и модернизации усталостных трещин в стальных мостах» (№ FHWA-IF-13-020); Федеральная трасса Администрация: Вашингтон, округ Колумбия, США, 2013 г.
- 8. Рольфе, ST; Барсом, Дж. М. Контроль разрушения и усталости в конструкциях: применение механики разрушения; ASTM International: Вест -Коншохокен, Пенсильвания, США, 1977 г.
- 9. Браун, доктор медицинских наук; Любиц, диджей; Чеков, ЮК; Франк, К.Х.; Китинг, П.Б. Оценка влияния обработки отверстий на характеристики пластин и соединений конструкционной стали (№ FHWA/TX-07/0-4624-1). 2007. Доступно онлайн: https://trid.trb.org/view/849447. (по состоянию на 12 августа 2022 г.).
- 10. Боччарелли, М.; Коломби, П.; Фава, Г.; Погги, К. Усталостные характеристики стальных элементов, усиленных углепластиковыми пластинами. Композиции. Структура. 2009, 87, 334–343. [Перекрестная ссылка]
- 11. Чандратилака, ERK; Гамаге, JCPH; Фавзия, С. Механические характеристики связи углепластик/сталь, отвержденной и испытанной при повышенных температурах. температура. Композиции. Структура. 2019, 207, 471–477. [Перекрестная ссылка]
- 12. Юань, Х.; Тенг, Дж.Г.; Серачино, Р.; Ву, ЗС; Яо, Дж. Полномасштабное поведение соединений стеклопластика с бетоном. англ. Структура. 2004, 26, 553–565. [Перекрестная ссылка]
- 13. Лю, Х.Б.; Чжао, Х.L; Аль-Махаиди, Р. Влияние усталостной нагрузки на прочность соединения соединений стальных пластин, связанных углепластиком. В материалах Международного симпозиума по поведению стеклопластиков в конструкциях, Гонконг, Китай, 7-9 декабря 2005 г.; стр. 459–464.
- 14. Тан, Дж. Х.; Шридхар, И.; Шрикант, Н. Анализ статического и усталостного разрушения толстых композитных однонахлесточных соединений, склеенных клеем. Композиции. наук. Технол. 2013, 86, 18–25. [Перекрестная ссылка]
- 15. Калавагунта, С.; Наганатан, С.; Мустафа, КNВ Стальные колонны, нагруженные осевой нагрузкой, усиленные углепластиком. Джордан Дж. Сив. англ. 2014, 8, 58–69. [Перекрестная ссылка]
- 16. Кадей, Дж. К.; Стратфорд, Техас; Дакетт, В.Г.; Холлауэй, LC. Укрепление металлических конструкций с использованием армированных волокном материалов с внешним соединением. Полимеры; Сирия: Лондон, Великобритания, 2004 г.
- 17. Гите, Бельгия; Маргай, MSR; Углеродное волокно как новый материал, используемый в строительстве. Портал гражданского строительства. 2013. Доступно онлайн: https://
- 18. АСТМ Д790-17; Стандартные методы испытаний свойств на изгиб неармированных и армированных пластмасс и электроизоляционных материалов. материалы. Стандарты ASTM: Вест-Коншохокен, Пенсильвания, США, 1997 г.
- 19. АСТМ Д3039/Д3039М-08; Стандартный метод испытания свойств на растяжение композиционных материалов с полимерной матрицей. Стандарты ASTM: Вест-Коншохокен, Пенсильвания, США. 2014 г.

20. Сильва, МАЛ; Дедигамува, КВ; Гамаж, JCPH Характеристики сильно поврежденных железобетонных соединений плоских плит и колонн, усиленных полимером, армированным углеродным волокном. Композиции. Структура. 2021, 255, 112963. [CrossRef]

21. Коффин, Л.Ф., младший. Исследование воздействия циклических термических напряжений на пластичный металл. Пер. Являюсь. Соц. Мех. англ. 1954, 76, 931–949.

16 из 16

Отказ от ответственности/Примечание издателя: Заявления, мнения и данные, содержащиеся во всех публикациях, принадлежат исключительно отдельному автору(ам) и участникам(ам), а не MDPI и/или редактору(ам). MDPI и/или редактор(ы) не несут ответственности за любой вред людям или имуществу, возникший в результате любых идей, методов, инструкций или продуктов, упомянутых в контенте.